

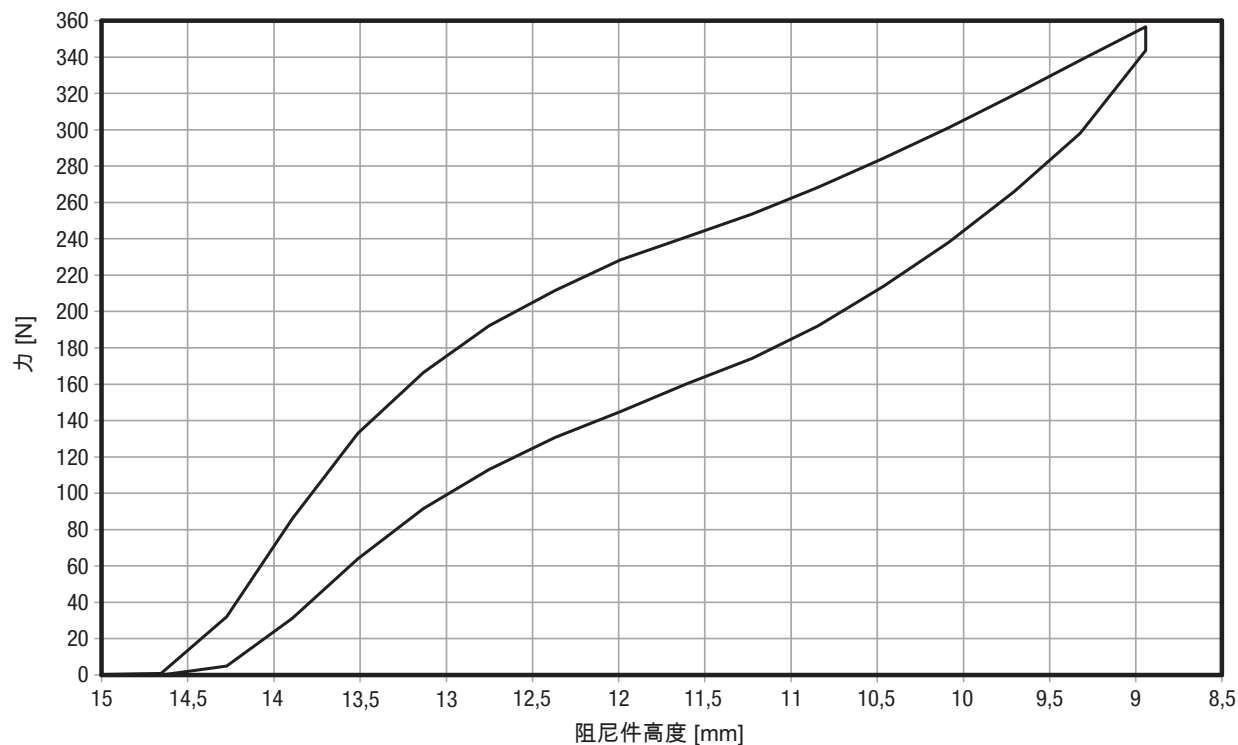
型材阻尼件技术资料

连续负载的特征曲线

26182-01407

力 - 位移特征曲线, 静态

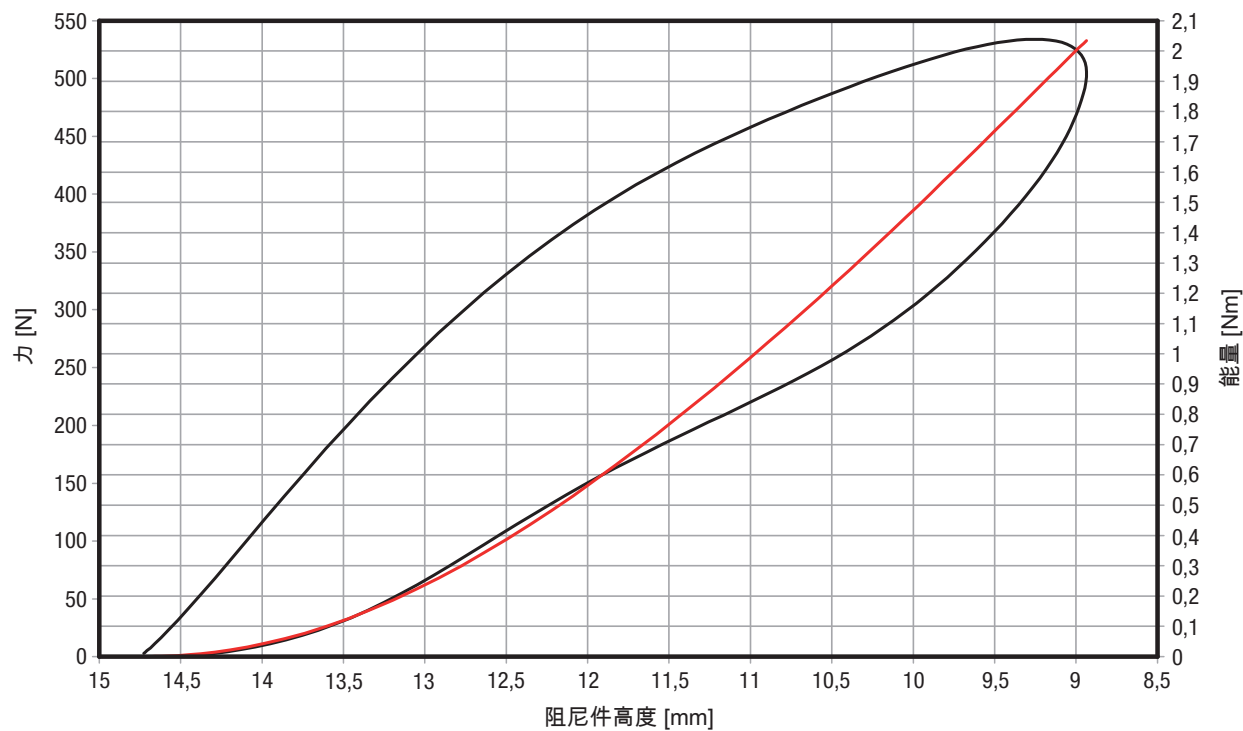
能量总计值: 1,23 Nm, 能量绝对值: 0,36 Nm, 效率: 29 %



26182-01407

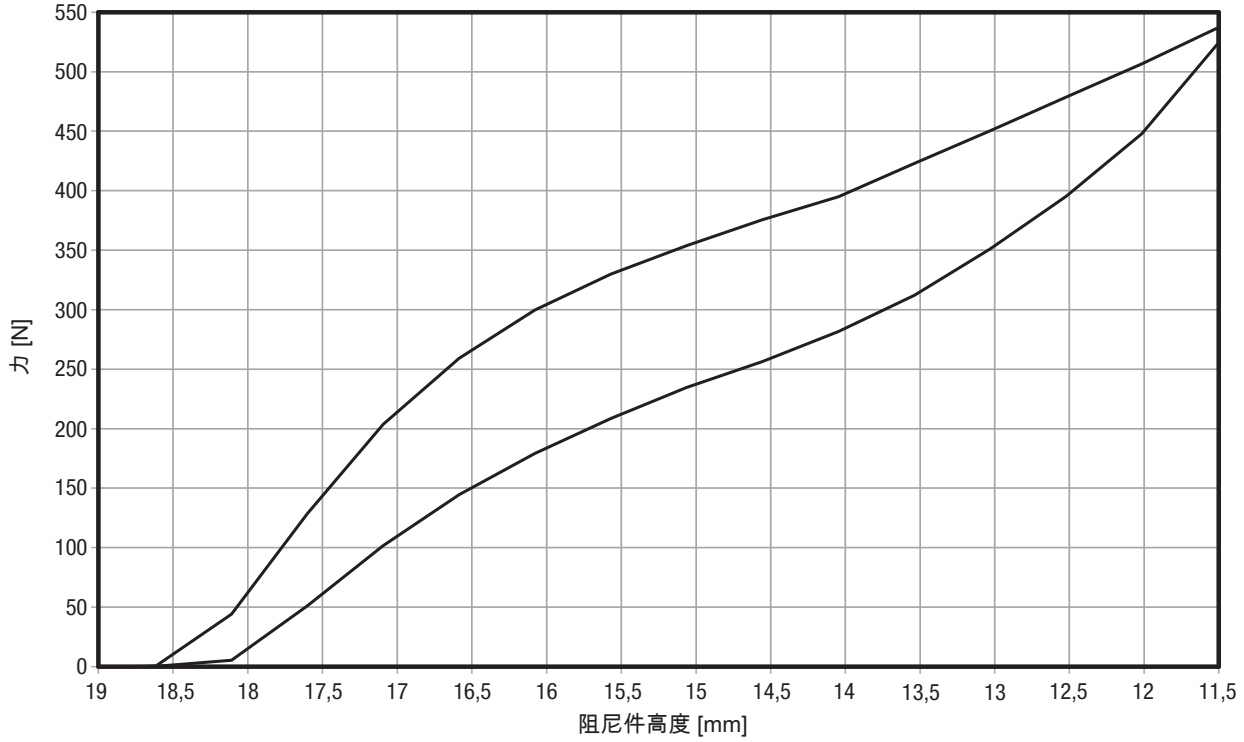
力 - 位移特征曲线, 动态

能量总计值: 2,03 Nm, 能量绝对值: 1,04 Nm, 效率: 51 %



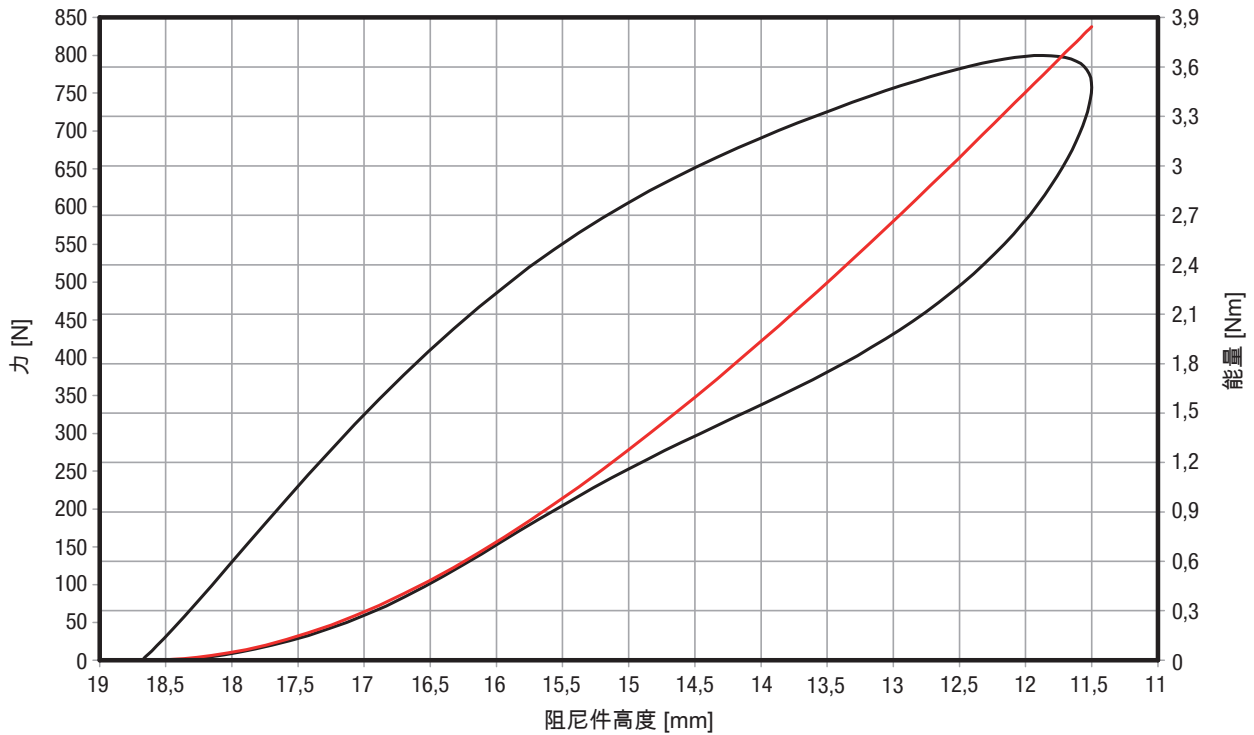
26182-01809

力 - 位移特征曲线, 静态
能量总计值: 2,29 Nm, 能量绝对值: 0,65 Nm, 效率: 28 %



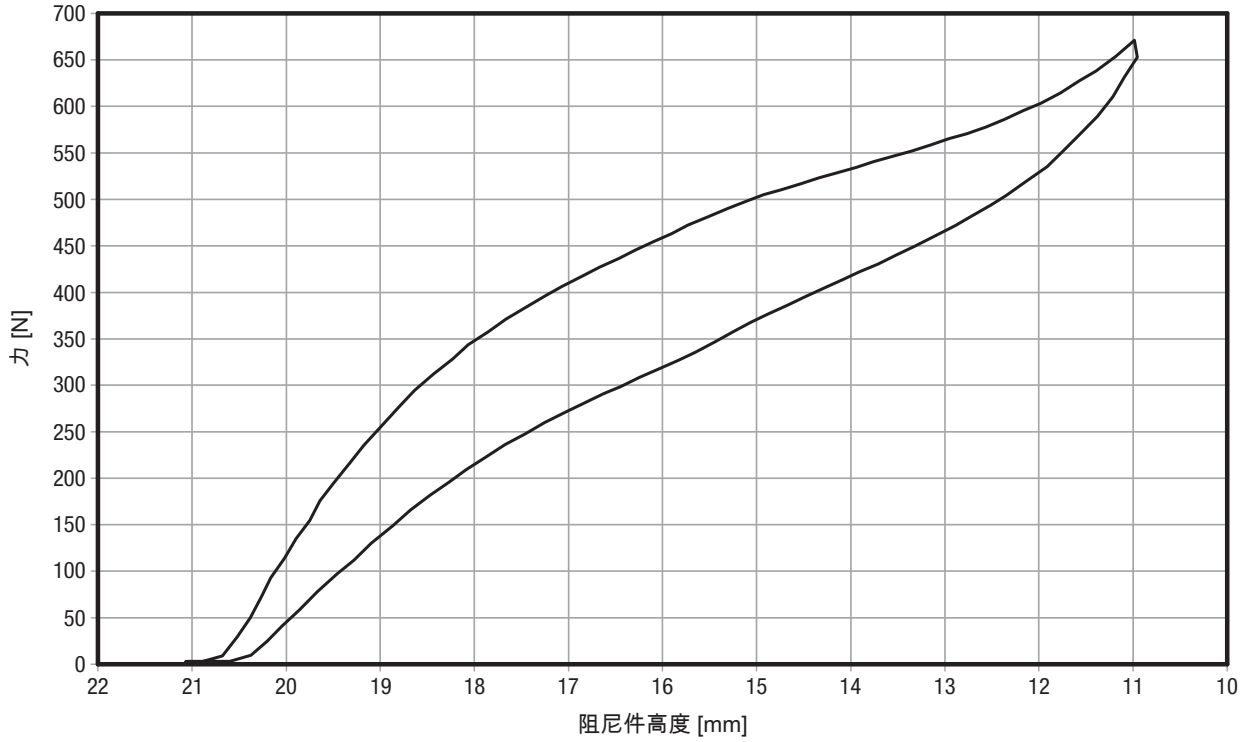
26182-01809

力 - 位移特征曲线, 动态
能量总计值: 3,8 Nm, 能量绝对值: 2 Nm, 效率: 53 %



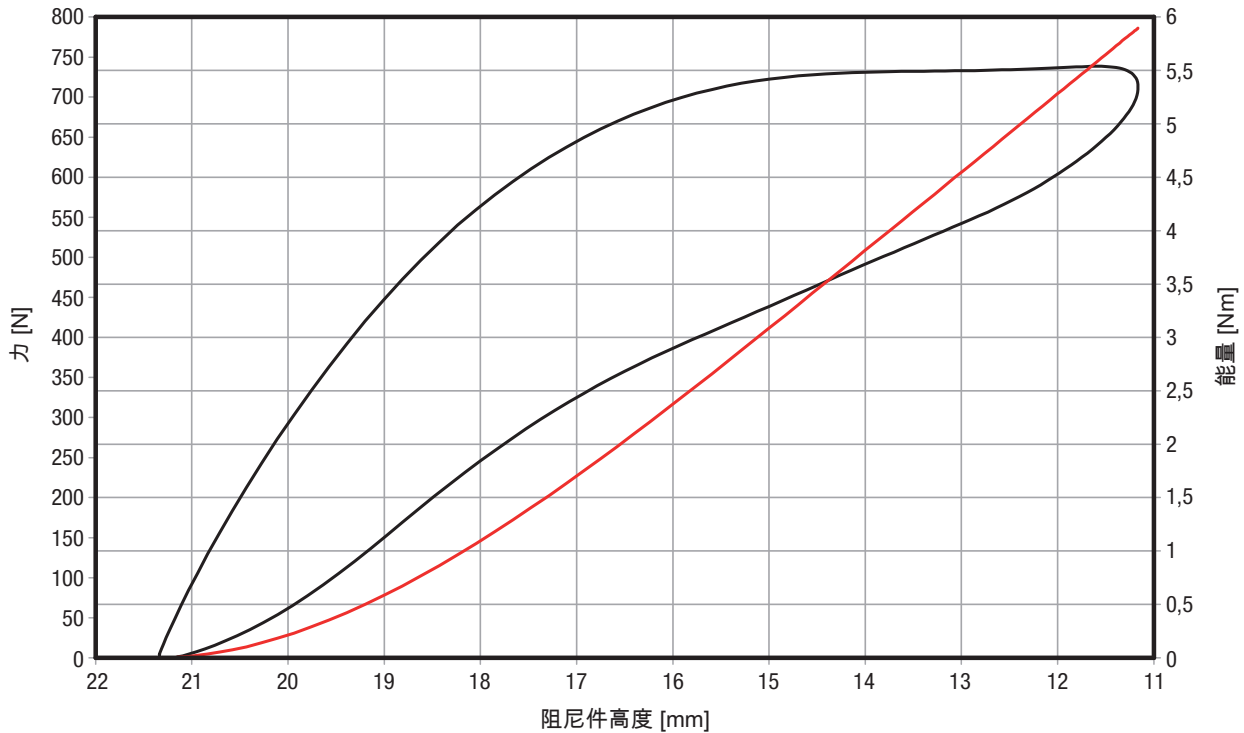
26182-02010

力 - 位移特征曲线, 静态
能量总计值: 4,2 Nm, 能量绝对值: 1 Nm, 效率: 25 %



26182-02010

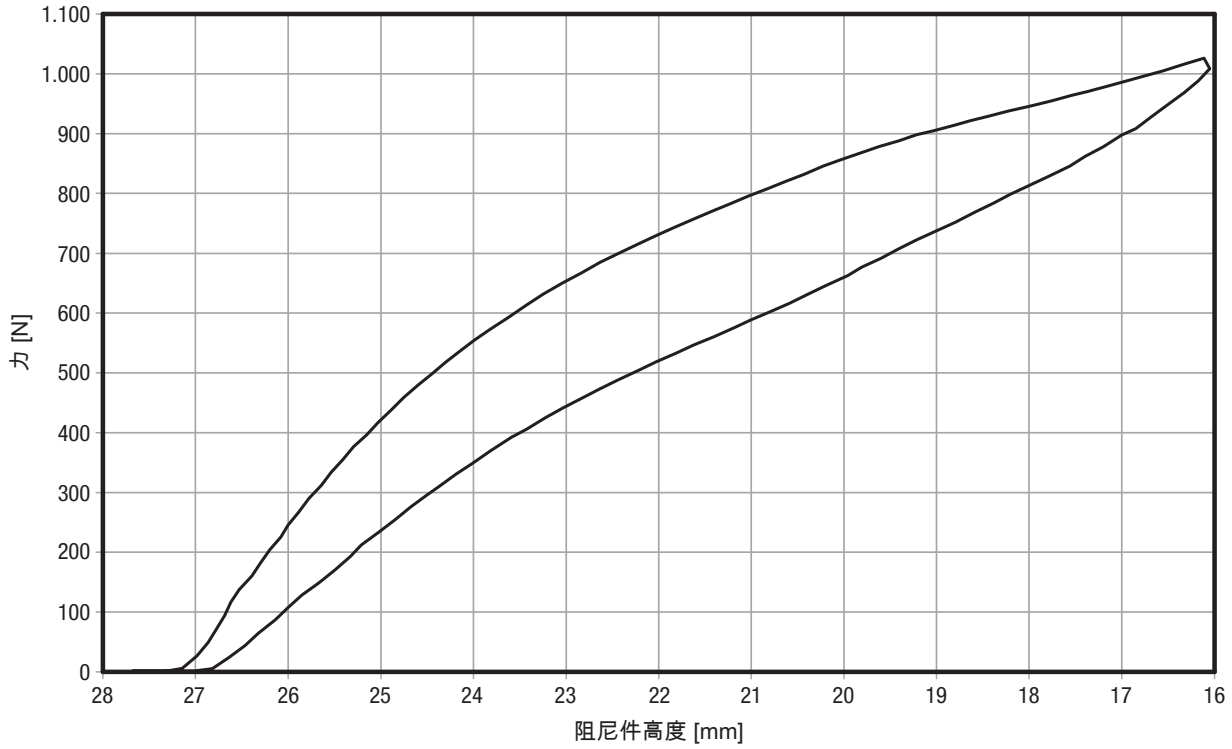
力 - 位移特征曲线, 动态
能量总计值: 5,9 Nm, 能量绝对值: 2,4 Nm, 效率: 40 %



26182-02615

力 - 位移特征曲线, 静态

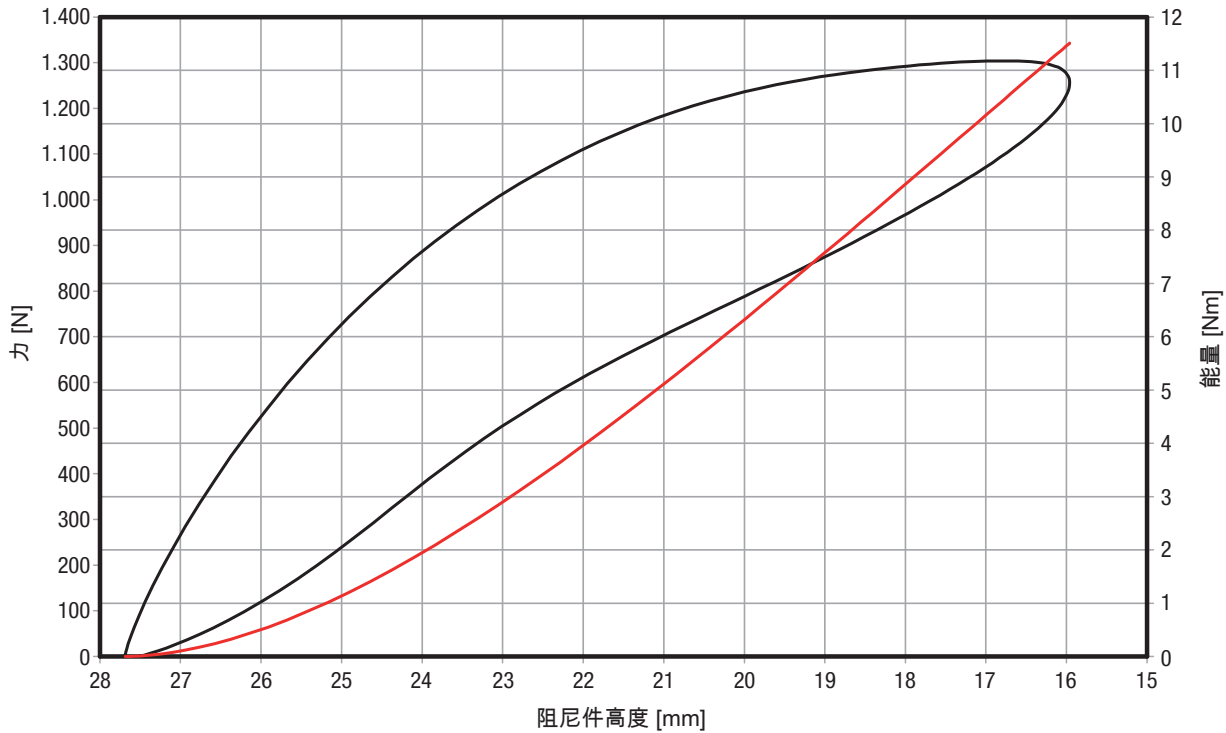
能量总计值: 7,6 Nm, 能量绝对值: 1,8 Nm, 效率: 25 %



26182-02615

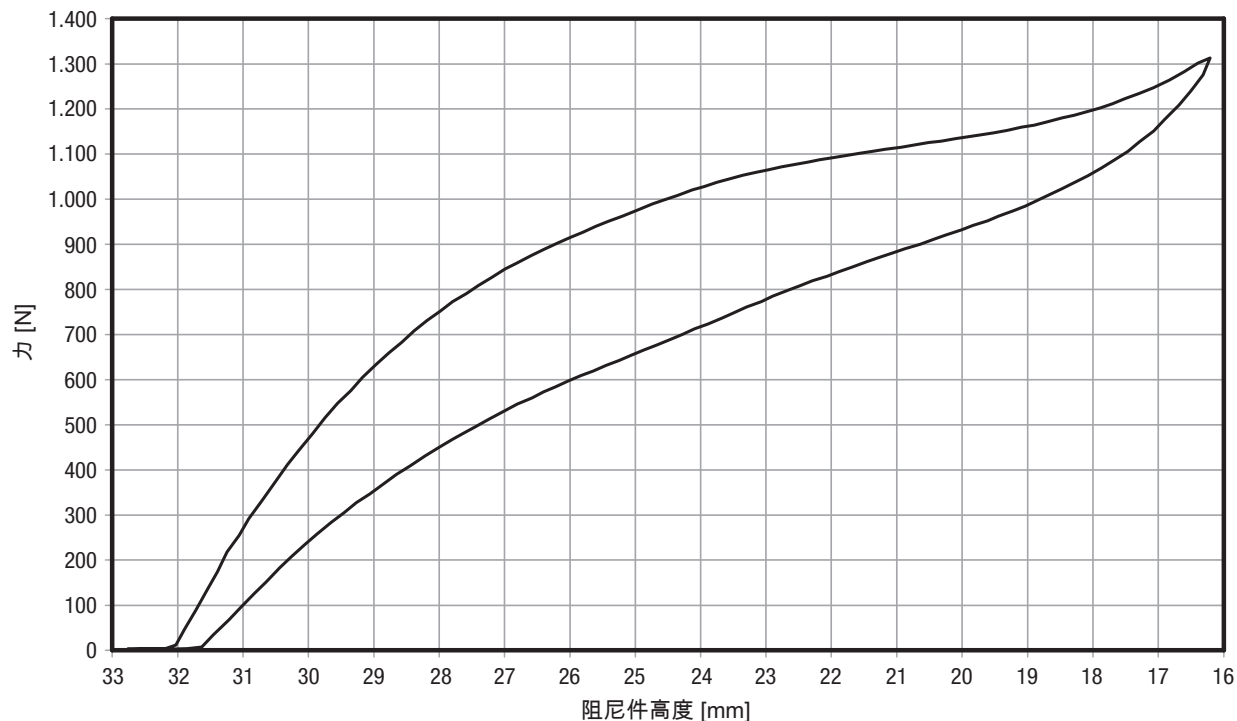
力 - 位移特征曲线, 动态

能量总计值: 11,5 Nm, 能量绝对值: 4,6 Nm, 效率: 40 %



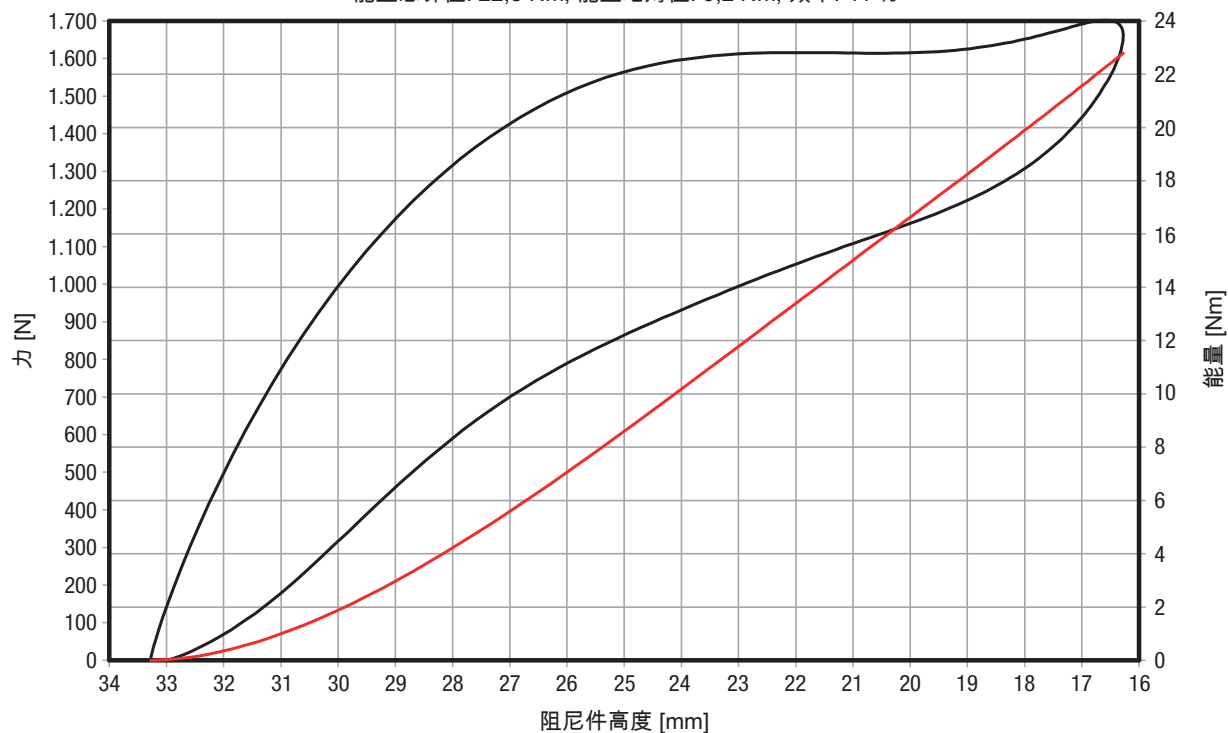
26182-03216

力 - 位移特征曲线, 静态
能量总计值: 14,3 Nm, 能量绝对值: 3,7 Nm, 效率: 25 %



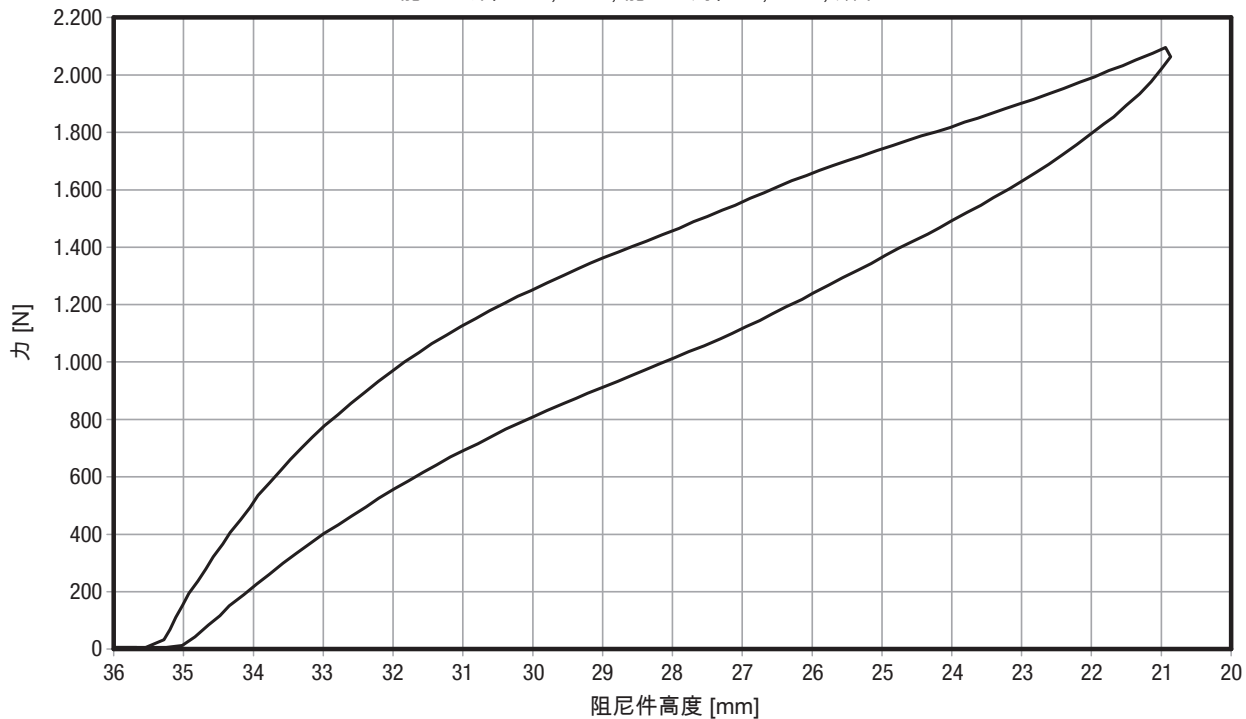
26182-03216

力 - 位移特征曲线, 动态
能量总计值: 22,8 Nm, 能量绝对值: 9,2 Nm, 效率: 41 %



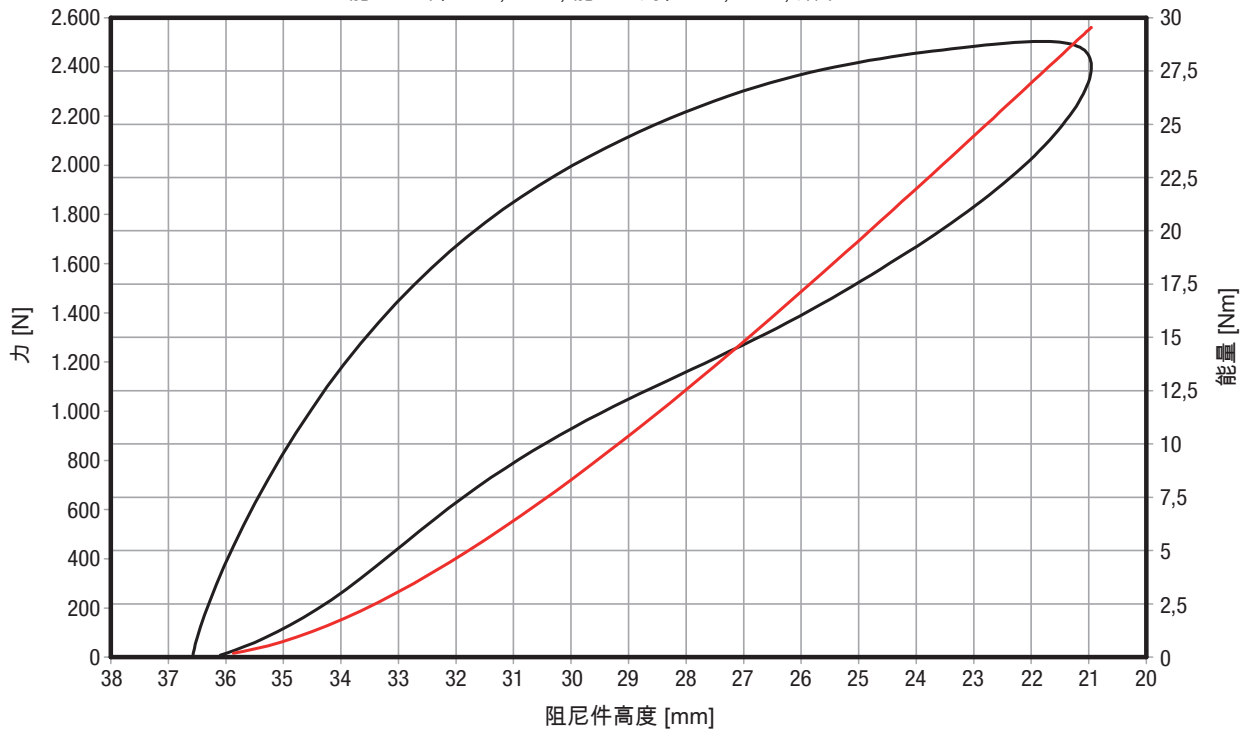
26182-03519

力 - 位移特征曲线, 静态
能量总计值: 19,6 Nm, 能量绝对值: 5,1 Nm, 效率: 26 %



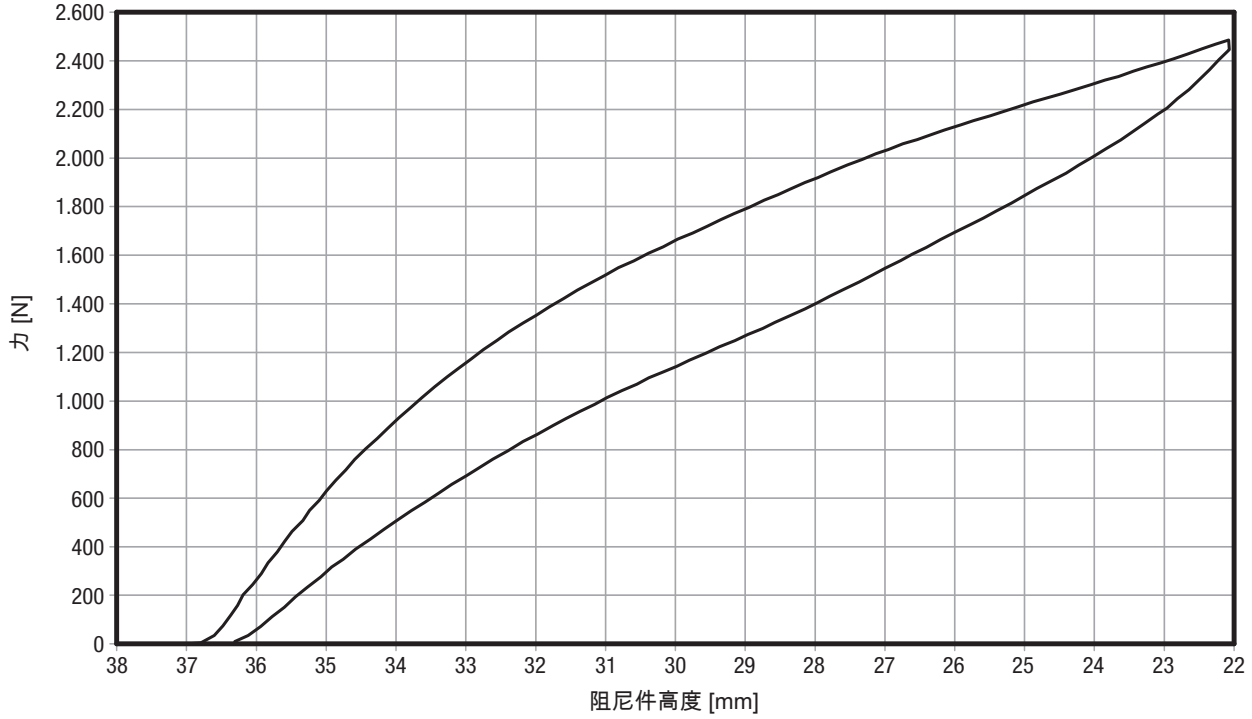
26182-03519

力 - 位移特征曲线, 动态
能量总计值: 29,5 Nm, 能量绝对值: 13,2 Nm, 效率: 45 %



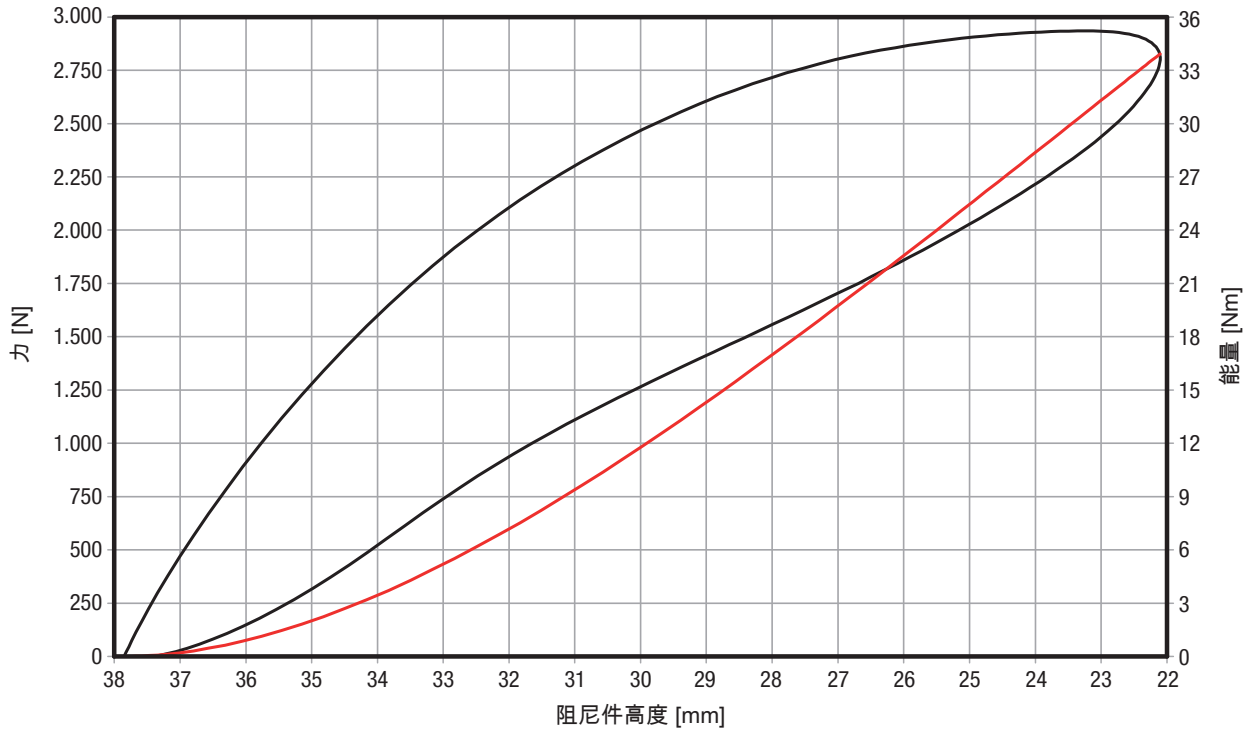
26182-04019

力 - 位移特征曲线, 静态
能量总计值: 23,3 Nm, 能量绝对值: 5,8 Nm, 效率: 25 %



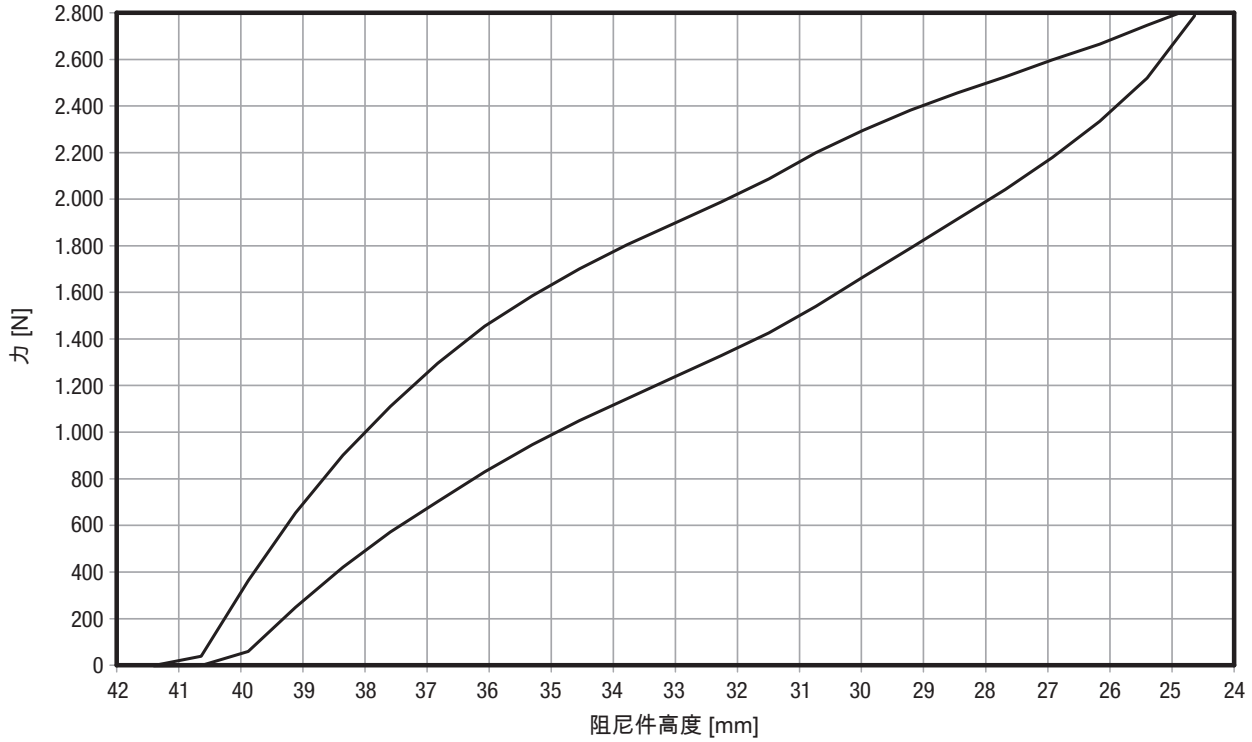
26182-04019

力 - 位移特征曲线, 动态
能量总计值: 33,9 Nm, 能量绝对值: 14,6 Nm, 效率: 43 %



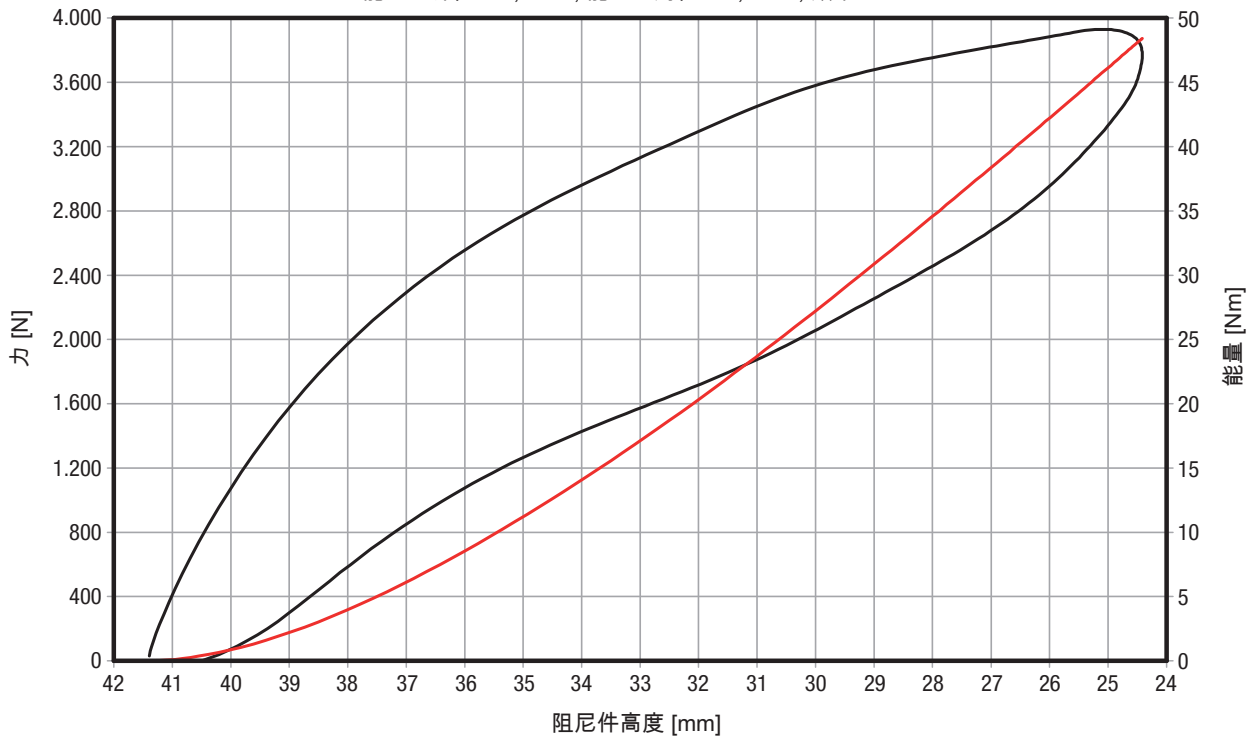
26182-04121

力 - 位移特征曲线, 静态
能量总计值: 29,1 Nm, 能量绝对值: 8,3 Nm, 效率: 28 %



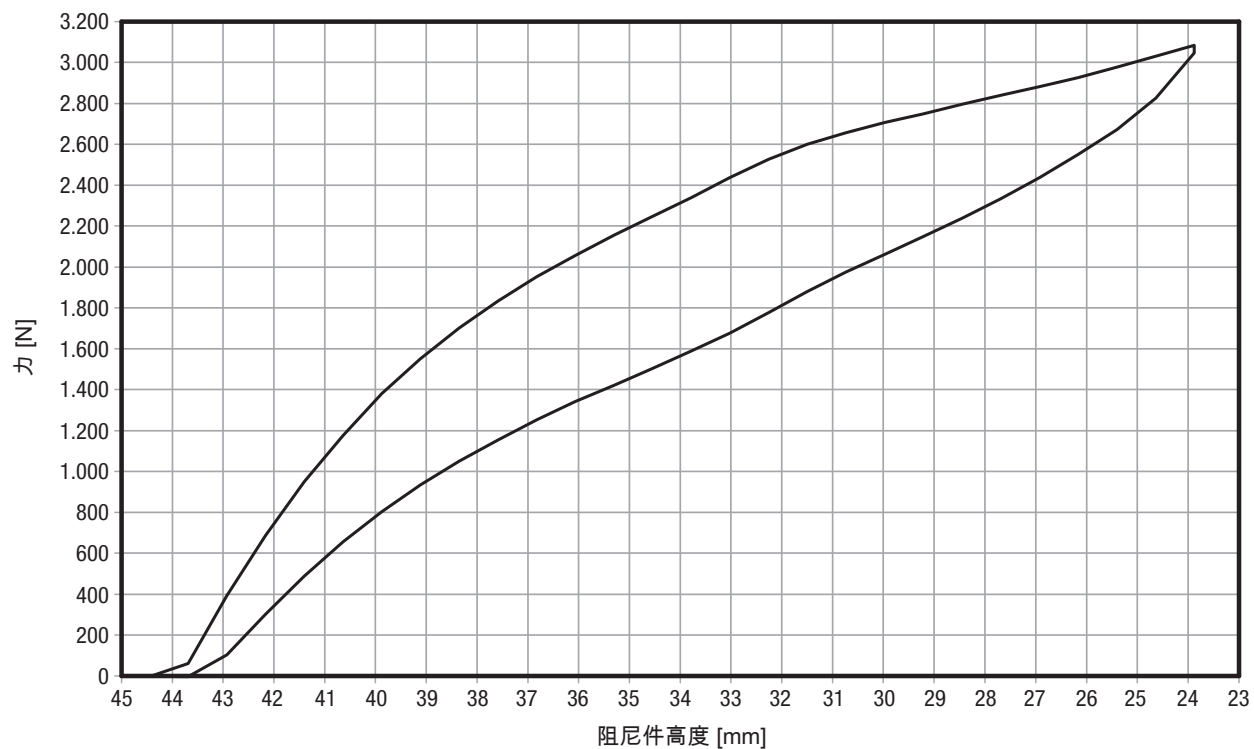
26182-04121

力 - 位移特征曲线, 动态
能量总计值: 48,4 Nm, 能量绝对值: 21,6 Nm, 效率: 45 %



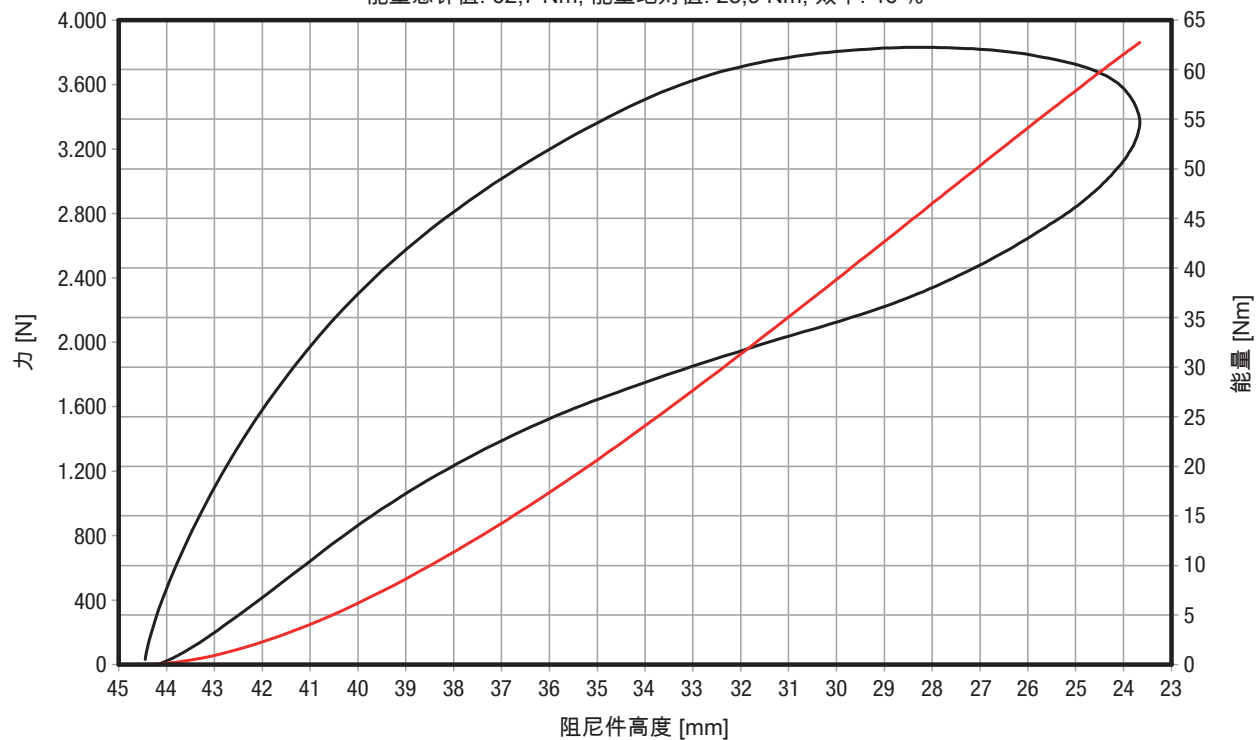
26182-04423

力 - 位移特征曲线, 静态
能量总计值: 42 Nm, 能量绝对值: 11 Nm, 效率: 26 %



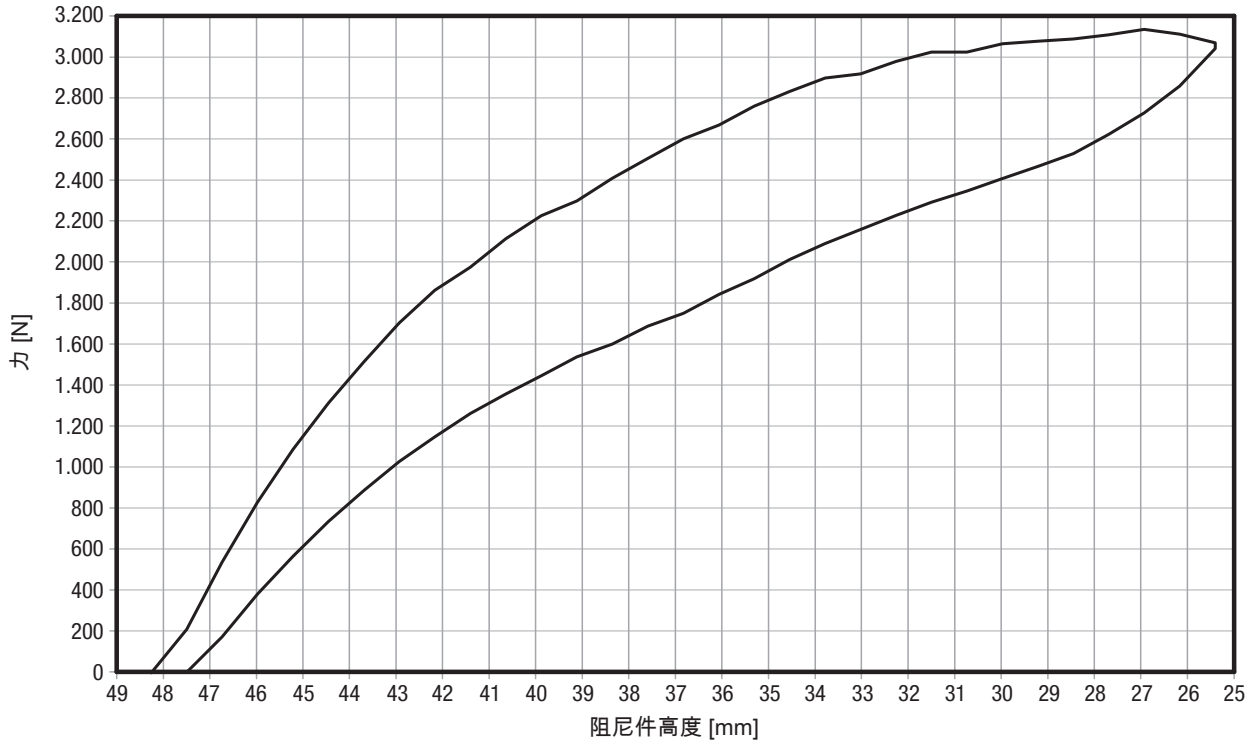
26182-04423

力 - 位移特征曲线, 动态
能量总计值: 62,7 Nm, 能量绝对值: 28,9 Nm, 效率: 46 %



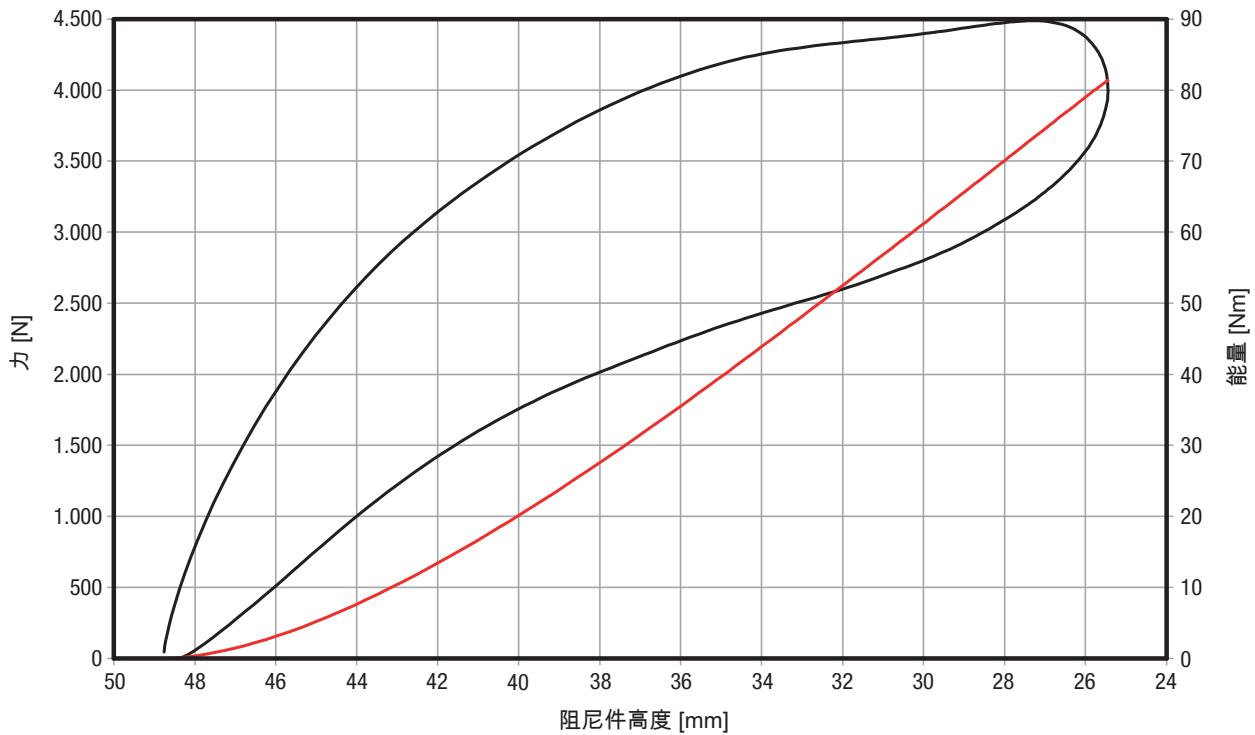
26182-04825

力 - 位移特征曲线, 静态
能量总计值: 52,1 Nm, 能量绝对值: 14,4 Nm, 效率: 28 %



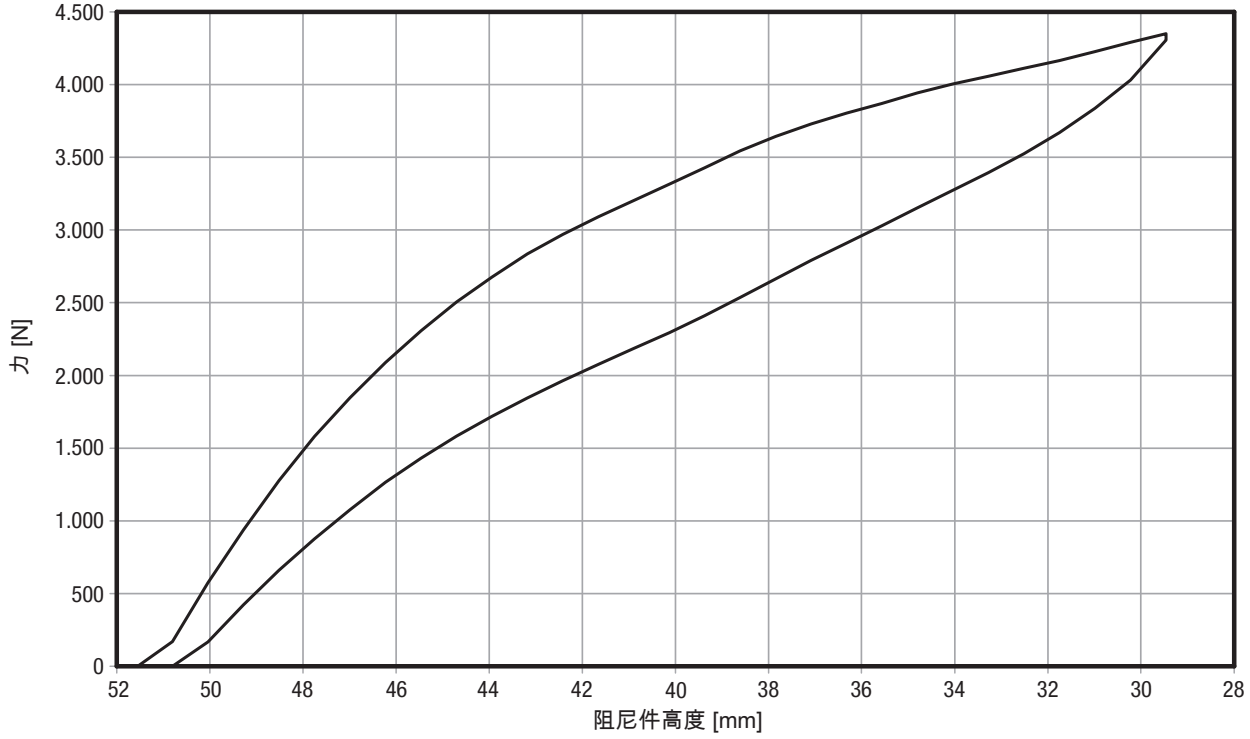
26182-04825

力 - 位移特征曲线, 动态
能量总计值: 81 Nm, 能量绝对值: 36 Nm, 效率: 44 %



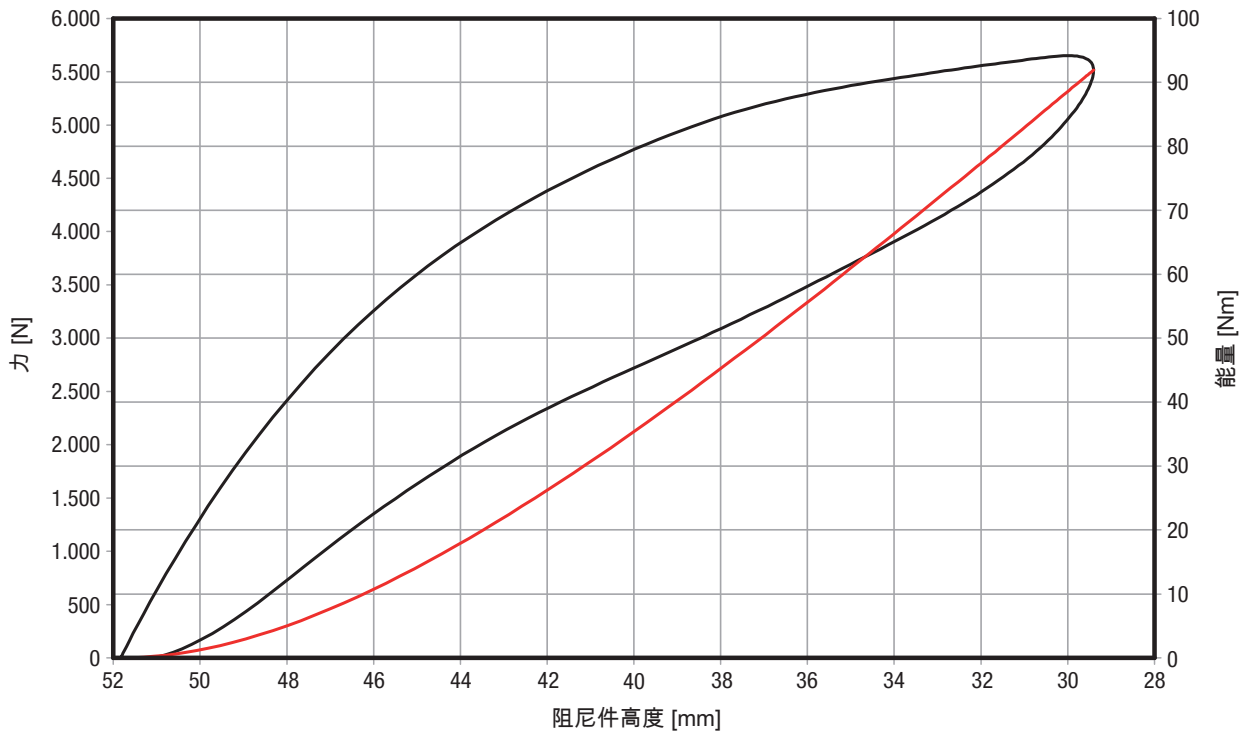
26182-05127

力 - 位移特征曲线, 静态
能量总计值: 64,3 Nm, 能量绝对值: 16,3 Nm, 效率: 25 %



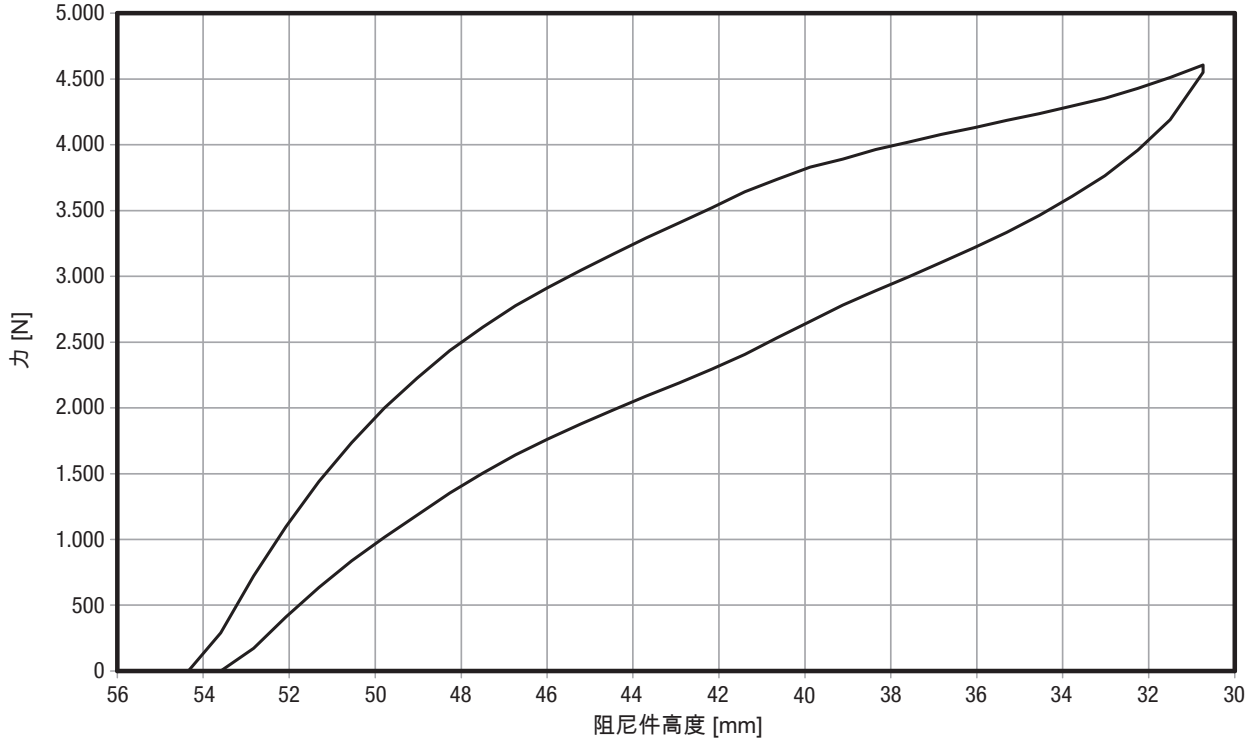
26182-05127

力 - 位移特征曲线, 动态
能量总计值: 92 Nm, 能量绝对值: 36 Nm, 效率: 39 %



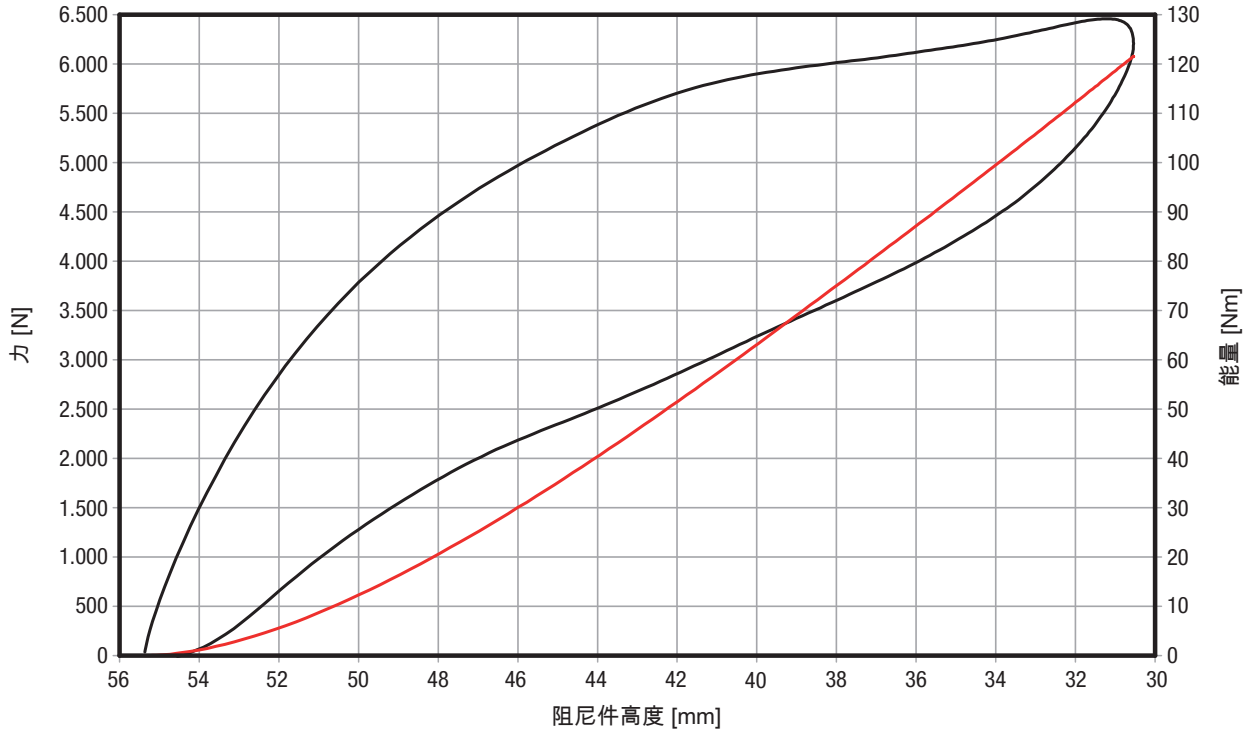
26182-05429

力 - 位移特征曲线, 静态
能量总计值: 74 Nm, 能量绝对值: 21 Nm, 效率: 29 %



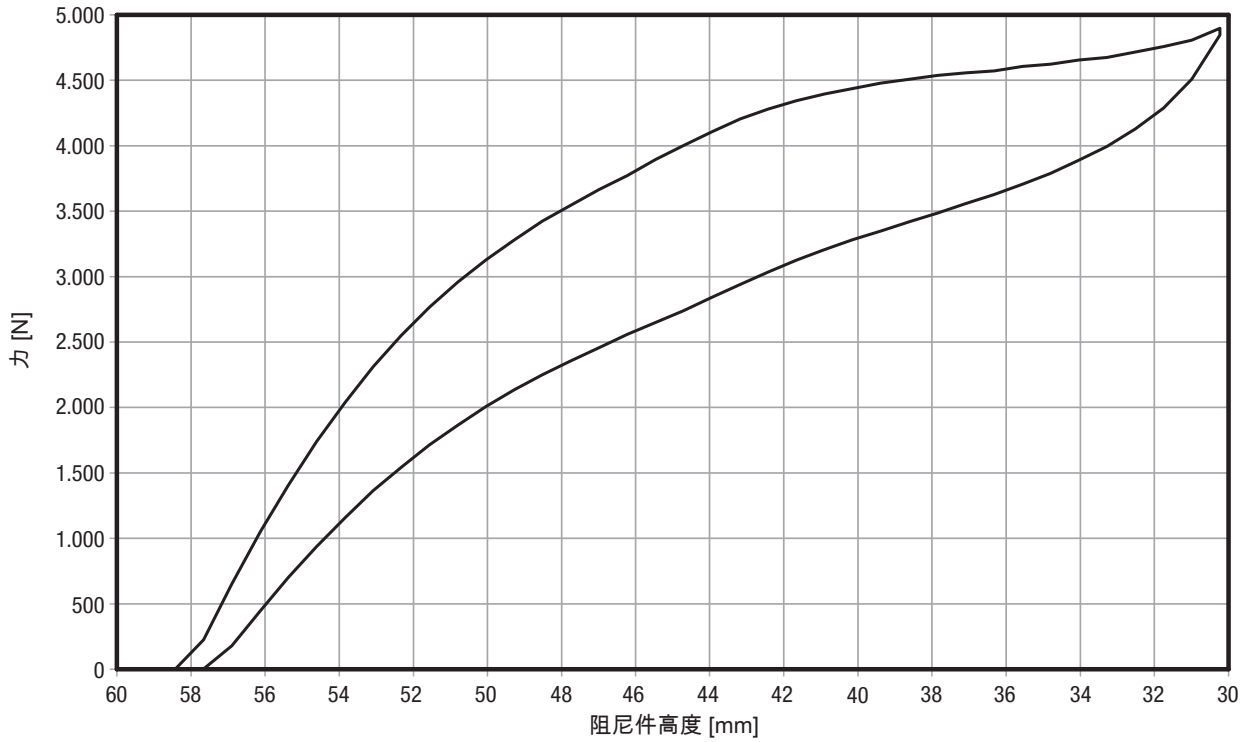
26182-05429

力 - 位移特征曲线, 动态
能量总计值: 122 Nm, 能量绝对值: 55 Nm, 效率: 45 %



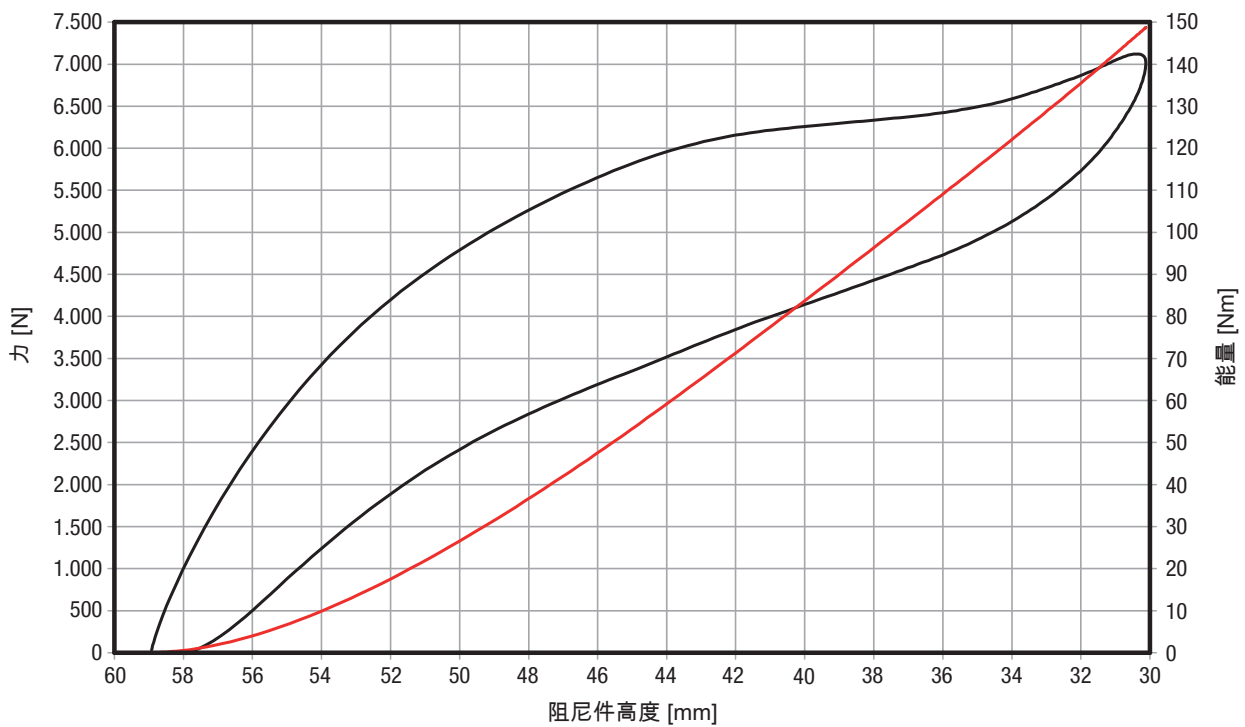
26182-05830

力 - 位移特征曲线，静态
能量总计值: 99,1 Nm, 能量绝对值: 26,3 Nm, 效率: 26 %



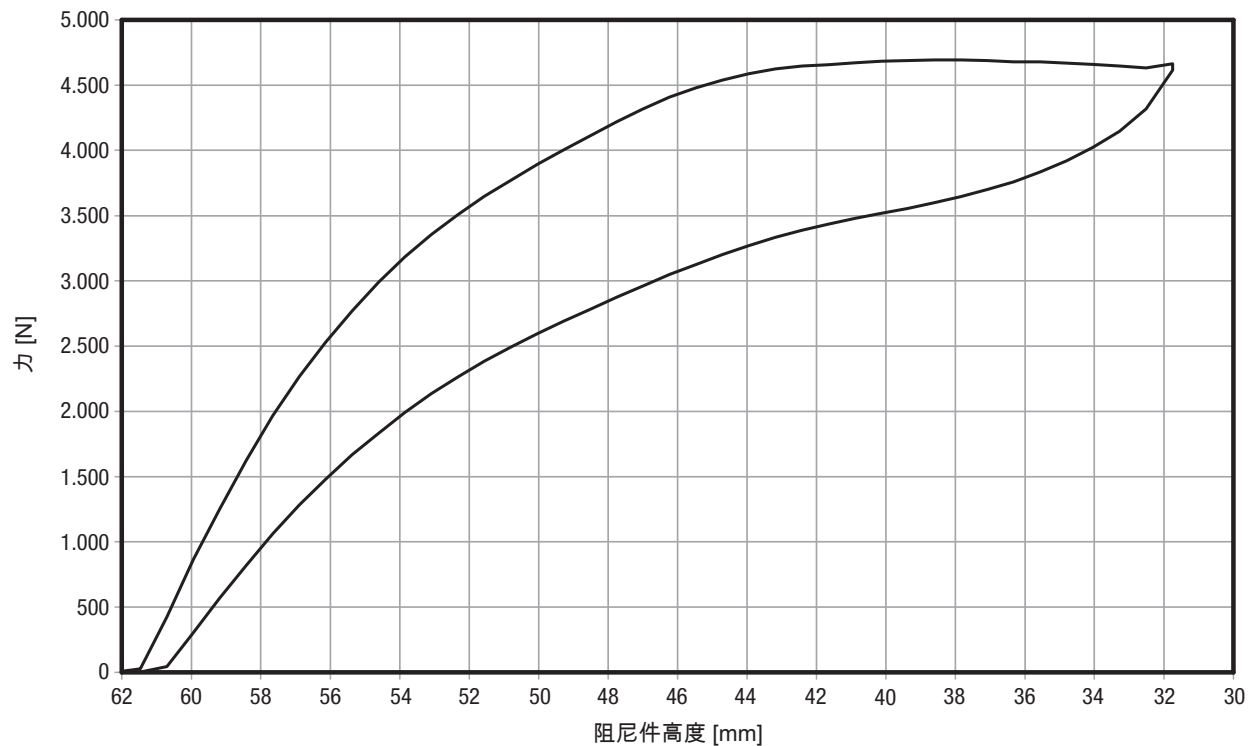
26182-05830

力 - 位移特征曲线，动态
能量总计值: 149 Nm, 能量绝对值: 56 Nm, 效率: 37 %



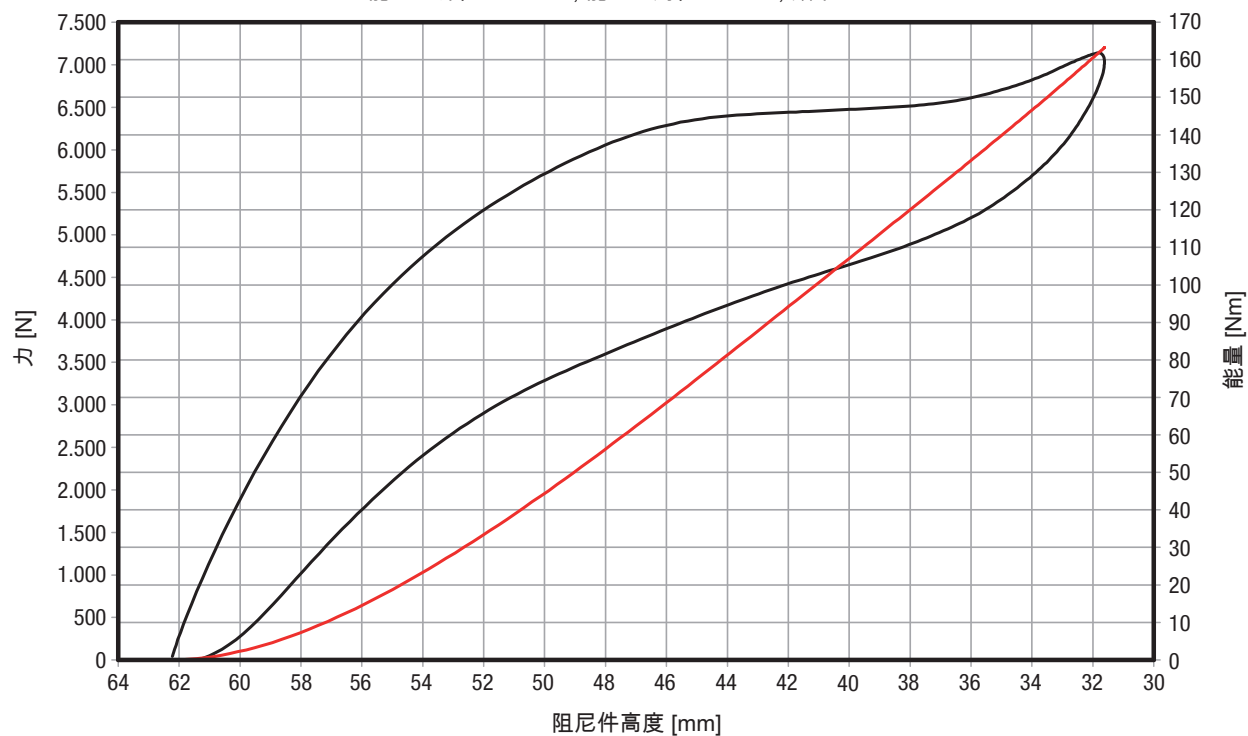
26182-06132

力 - 位移特征曲线, 静态
能量总计值: 111 Nm, 能量绝对值: 31 Nm, 效率: 28 %



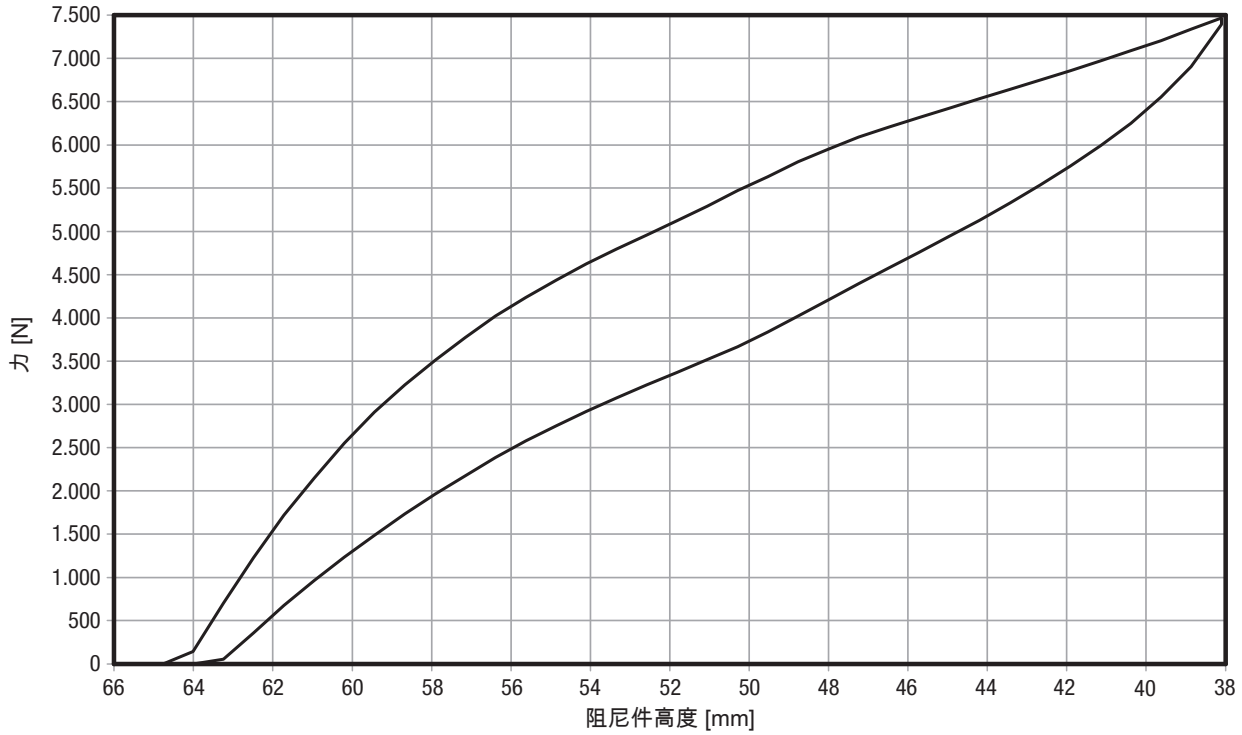
26182-06132

力 - 位移特征曲线, 动态
能量总计值: 163 Nm, 能量绝对值: 58 Nm, 效率: 36 %



26182-06434

力 - 位移特征曲线, 静态
能量总计值: 127 Nm, 能量绝对值: 35 Nm, 效率: 28 %



26182-06434

力 - 位移特征曲线, 动态
能量总计值: 208 Nm, 能量绝对值: 93 Nm, 效率: 45 %

